

## COMPLEXOS DE CRÔMIO(III) COM LIGANTES OXIGENADOS MONODENTADOS

Vânia MARTINS NOGUEIRA\*  
Antonio Carlos MASSABNI\*

**RESUMO:** No presente artigo são descritas a síntese e a caracterização dos complexos sólidos de fórmulas:  $[Cr(tmao)_6]Cl_3$ ,  $[CrCl_2(pyro)_4]Cl$ ,  $[CrCl_3(diso)_3]$ ,  $[CrBr_3(hmpa)_3]$ ,  $[CrBr_3(dfso)_3]$ ,  $[Cr(NO_3)_2(tipo)_2](NO_3)$ ,  $[Cr(NO_3)_2(tipo)_2](NO_3)_2$ ,  $[Cr(NO_3)_3(H_2O)(tmao)_2]$ ,  $[Cr(pyro)_6](NO_3)_3$  e  $[Cr(ClO_4)_2(dfso)_2]ClO_4$  ( $tmao = trimetilaminôxido$ ;  $pyro = piridina óxido$ ;  $diso = difenilsulfônico$ ;  $hmpa = hexametilfosforamida$ ;  $tipo = trifenilfosfinôxido$ ;  $dfso = trifenilarsinôxido$ ;  $amp = N, N\text{-dimetilpicolinâmida}$ ). Os complexos foram caracterizados através de análises elementares (C, H, N), análises de  $Cr(III)$  e dos ânions, medidas de pontos de fusão, condutância, susceptibilidade magnética, espectros I.V. e espectros eletrônicos. A partir dos valores dos parâmetros  $10Dq$  e  $B$  foram estabelecidas as séries espectroquímica e neofauxéxtica: série espectroquímica (ligantes):  $pyo > tmao > hmpa > tipo > dfso > amp$ ; série espectroquímica (ânions):  $NO_3^- \sim ClO_4^- > Cl^- > Br^-$ ; série neofauxéxtica:  $ClO_4^- > Cl^- > NCS^- > tipo > hmpa > pyo > pyo \sim diso$ .

**UNITERMOS:** Crômio (III), complexos, ligantes oxigenados monodentados, espectros eletrônicos.

### INTRODUÇÃO

Os complexos de Crômio(III) são interessantes de serem estudados em vista, entre outras, das seguintes características:

1. O  $Cr(III)$  possui configuração  $d^3$  e pode formar um grande número de complexos hexacoordenados de simetria  $O_h$  (octaédricos) de coloração verde ou purpúrea;

\* Departamento de Química Geral e Inorgânica — Instituto de Química-UNESP — Araraquara-S.P.  
— Araraquara-S.P.

2. Tais complexos servem de modelo para as teorias de ligação em Química de Coordenação;

3. Os complexos de Cr(III) são, em geral, cineticamente inertes;
4. Os complexos do tipo  $[CrI_6]$  apresentam pequenas distorções da simetria  $O_h$ ;
5. Os íons Cr(III) são pequenos, de alta carga e possuem dois orbitais vazios, o que possibilita a formação de ligações  $\sigma$  fortes;
6. O Cr(III) é um íon do tipo duro e coordena-se, formando complexos estáveis, a ligantes também do tipo duro, que contém N ou O como átomos doadores, além dos haletos e pseudo-haletos;
7. Os espectros eletrônicos dos complexos octaédricos de Cr(III) são relativamente simples e de fácil interpretação;
8. Os parâmetros de campo cristalino 10 Dq e B' são facilmente determinados;

9. A comparação dos valores de 10 Dq e de B' permite o estabelecimento das séries espectroquímica e nefelauxética, respectivamente.

No presente artigo são descritas a síntese e a caracterização de complexos de Cr(III) com os seguintes ligantes oxigenados monodentados: trifenilfosfinóxido (tfpo), trifenilarsinóxido (ffa<sub>o</sub>), trimetilaminóxido (tma<sub>o</sub>), piridina óxido (pyo), hexamilfosforamida (hmpa), difenilsulfóxido (dfs<sub>o</sub>) e N,N-dimetilpicolinamida (dmp). Os sais de Cr(III) utilizados foram o cloreto, o brometo, o nitrato e o perclorato. Alguns complexos já haviam sido descritos na literatura e foram repreparados para comparação.

A caracterização dos complexos foi feita através das análises de Cr(III), análise elementar (C,H,N), suscepitibilidade magnética e espectros eletrônicos (I.V.).

A partir das bandas  $\nu_1$  e  $\nu_2$  dos espectros eletrônicos foram determinados o parâmetro de campo cristalino 10 Dq e o parâmetro B' de Racah. Por comparação dos valores de 10 Dq e de B' foi possível estabelecer-se as séries espectroquímica e nefelauxética para os ligantes e para os ânions coordenados.

## PARTE EXPERIMENTAL

### 1. Solventes

Os solventes utilizados (etanol, benzeno, acetona, éter de petróleo, éter etílico, nitrometano, 1,2-dicloreto e acetonitrila) foram purificados por destilação e tratados de acordo com métodos descritos na literatura.

## 2. Sais

Os sais utilizados foram: CrCl<sub>3</sub>.6H<sub>2</sub>O (Merck), Cr(NO<sub>3</sub>)<sub>3</sub>.9H<sub>2</sub>O (Riedel), Cr(ClO<sub>4</sub>)<sub>3</sub> e CrBr<sub>3</sub>. Esses dois últimos sais foram obtidos a partir do cloreto. O tratamento do CrCl<sub>3</sub>.6H<sub>2</sub>O com carbonato de sódio resulta no carbonato de crômio(III) que tratado com HClO<sub>4</sub> ou HBr diluídos produz os sais desejados. Foram utilizadas soluções etanólicas dos dois sais, e concentrações previamente determinadas.

### 3. Ligantes

Os ligantes utilizados encontravam-se disponíveis em nosso laboratório, uma vez que vários deles, já haviam sido empregados em estudos anteriores. A caracterização dos ligantes foi feita através de medidas de pontos de fusão e de espectros vibracionais (I.V.).

### 4. Sinteses dos complexos

De um modo geral os complexos foram preparados pela reação entre as soluções etanólicas ferventes do sal e do ligante em proporções adequadas. Foram utilizadas proporções Cr(III): Ligante de 1:3, 1:4 e 1:6. Parte do solvente era evaporrada em chapa elétrica e a solução era resfriada para precipitação do complexo. Quando isso não ocorria, efetuava-se a substituição do solvente, parcial ou totalmente. Os compostos sólidos eram separados por filtração e mantidos em dessecador com CaCl<sub>2</sub>. Não se conseguiu obter os complexos de Cr(ClO<sub>4</sub>)<sub>3</sub> com hmpa e tmao no estado sólido, já descritos na literatura<sup>1,2</sup>.

### 5. Pontos de fusão

Para as medidas do P.F. utilizou-se um aparelho FP-2 da Mettler.

### 6. Análises

Após secagem dos complexos sólidos triturados, em pistola de Abderhalden, o Cr(III) foi determinado por método espectrofotométrico<sup>3</sup> na forma de CrO<sub>4</sub><sup>2-</sup>. Os complexos eram previamente dissolvidos em etanol e tratados com água, a quente. Na solução aquosa resultante, após filtração quando necessário, era determinado o Cr(III). Em alguns casos, para confirmação da estequiometria, foram efetuadas as análises gravimétricas dos ânions. O Cl<sup>-</sup> e o Br<sup>-</sup> foram determinados por precipitação com Ag<sup>+</sup> e o NO<sub>3</sub><sup>-</sup> com nitron<sup>4</sup>. Para alguns complexos foram efetuadas as análises elementares (C,H,N) no Instituto de Química da USP.

Os resultados analíticos permitiram estabelecer as fórmulas estequiométricas dos complexos.

### 7. Condutância

As medidas de condutância foram feitas a 25°C num condutômetro Metrohm Herisau E-57, utilizando-se cela de constante 0,875cm<sup>-1</sup> e soluções 10<sup>-3</sup>M dos complexos solúveis em nitrometano ou acetonitrila. A partir da condutância específica foi determinada a condutância molar ( $\Lambda_M$ ) de cada complexo.

### 8. Susceptibilidade magnética

As medidas de susceptibilidade magnética foram efetuadas à temperatura ambiente utilizando-se uma balança de Gouy e Hg[Co(SCN)<sub>4</sub>] para calibração. Para as correções foram utilizadas as constantes de Pascal. A partir das susceptibilidades magnéticas foram determinados os momentos magnéticos ( $\mu_{eff}$ ) dos complexos.

### 9. Espectros vibracionais (I.V.)

Os espectros foram traçados, num espectrofotômetro Perkin-Elmer mod. 567, na região 4.000-250cm<sup>-1</sup>. Utilizou-se amostras trituradas dos ligantes e dos complexos em suspensão de nujol, entre janelas de KBr ou de CsI, e pastilhas de CsI. Para os ligantes líquidos utilizou-se um filme entre janelas de CsI. Foram atribuídas as bandas relativas às freqüências  $\nu(E \rightarrow O)$ , onde E=P, As, N ou S, nos ligantes livres e correspondentes as bandas correspondentes aos grupos NO<sub>3</sub><sup>-</sup> e ClO<sub>4</sub><sup>-</sup>.

### 10. Espectros eletrônicos

Foram traçados em espectrofotômetro Varian Techtron mod. 635, na região 800-400 nm. Foram utilizadas celas de quartzo de 1cm de caminho óptico e soluções 10<sup>-3</sup>M em nitrometano, acetonitrila ou 1,2-dicloroetano, dependendo da solubilidade ou da estabilidade dos complexos em solução.

Em alguns casos utilizou-se amostras sólidas em suspensão de nujol dispersas em papel Whatman n.º 1.

Através dos espectros das soluções dos complexos foram calculadas as absorviedades mоляres ( $\epsilon$ ) nos comprimentos de onda de máxima absorção e determinados os parâmetros 10 Dq e B'. A partir dos valores de B' foi determinado o parâmetro  $\beta$  ( $\beta = B'/B$ ) considerando-se o valor de 918cm<sup>-1</sup> para o ion livre<sup>9</sup>.

## RESULTADOS E DISCUSSÕES

Na Tabela I estão as fórmulas dos complexos, os solventes utilizados para a cristalização, as cores e os pontos de fusão (ou intervalos de fusão). Só constam da Tabela I os complexos obtidos como sólidos. As fórmulas de coordenação foram estabelecidas a partir dos resultados analíticos, da interpretação dos espectros I.V. e dos valores de  $\Lambda_M$ . Os complexos [CrCl<sub>3</sub>(tfpo)<sub>3</sub>]<sub>n</sub>, [CrCl<sub>2</sub>(tfso)<sub>4</sub>]Cl, [CrCl<sub>3</sub>(hmpa)<sub>3</sub>]<sub>n</sub>, [CrCl<sub>2</sub>(tfpo)<sub>3</sub>] e [Cr(ClO<sub>4</sub>)<sub>3</sub>(pyo)<sub>2</sub>]<sub>n</sub>, já descritos na literatura<sup>6,11</sup>, foram repreparados e estudados comparativamente com os novos complexos descritos no presente trabalho. Utilizando-se as mesmas condições experimentais foram obtidos dois complexos sólidos de CrCl<sub>3</sub> com hmpa: um verde escuro e outro púrpureo. O sólido púrpureo passava a verde quando em repouso em contacto com a solução. O sólido púrpureo isolado era deliquescente, o que dificultou o seu manuseio. A análise de Cr(III) para os dois complexos mostrou que ambos apresentam a mesma estequiometria, ou seja, devem tratar-se de complexos isômeros do tipo MA<sub>3</sub>B<sub>3</sub>. Nossos estudos se limitaram ao complexo verde.

TABELA I — Fórmulas, Solventes, Cores e PF dos complexos.

Complexo	Solvente	Cor	PF(°C)	Ref.
[CrCl <sub>3</sub> (tfpo) <sub>3</sub> ] <sub>n</sub>	acetona-benzeno	púrpureo	260-5	(6)
[CrCl <sub>2</sub> (tfso) <sub>4</sub> ]Cl	etanol-benzeno	púrpureo	>270	(7)
[Cr(tmao) <sub>6</sub> ]Cl <sub>3</sub>	etanol	verde	>270	—
[CrCl <sub>2</sub> (pyo) <sub>4</sub> ]Cl	benzeno	púrpureo	143-6	—
[CrCl <sub>3</sub> (hmpa) <sub>3</sub> ] <sub>n</sub>	benzeno	verde	>270	(8)
[CrCl <sub>3</sub> (dfso) <sub>3</sub> ]	etanol	púrpureo	192-200	—
[CrBr <sub>3</sub> (pyo) <sub>3</sub> ]	etanol-benzeno	verde	127-130	—
[CrBr <sub>3</sub> (hmpa) <sub>3</sub> ]	etanol-benzeno	verde	>270	—
[CrBr <sub>3</sub> (dfso) <sub>3</sub> ]	etanol-benzeno	púrpureo	251-4	—
[Cr(NO <sub>3</sub> ) <sub>2</sub> (tfpo) <sub>2</sub> ]NO <sub>3</sub>	benzeno	verde	160-7	—
[Cr(NO <sub>3</sub> ) <sub>2</sub> (tfso) <sub>4</sub> ]NO <sub>3</sub>	acetona-benzeno	verde	212-6	—
[Cr(NO <sub>3</sub> ) <sub>3</sub> (H <sub>2</sub> O)(tmao) <sub>2</sub> ] <sub>n</sub>	etanol	verde	>270	—
[Cr(pyo) <sub>6</sub> ]NO <sub>3</sub>	etanol	verde	202-7	—
[Cr(ClO <sub>4</sub> ) <sub>3</sub> (tfpo) <sub>3</sub> ] <sub>n</sub>	etanol-benzeno	verde	120-2	(9)
[Cr(ClO <sub>4</sub> ) <sub>3</sub> (pyo) <sub>2</sub> ] <sub>n</sub>	etanol-benzeno	verde	139-144	(10, 11)
[Cr(ClO <sub>4</sub> ) <sub>2</sub> (dmp) <sub>4</sub> ]ClO <sub>4</sub>	etanol	púrpureo	145-150	—

Na Tabela 2 estão os resultados das análises dos complexos. Em alguns casos não foram obtidos resultados reprodutíveis para o Cr(III) e por isso, tais resultados não foram incluídos na Tabela 2 (vide, por exemplo, os complexos de  $\text{CrCl}_3$  com tmao e com pyo e de  $\text{Cr}(\text{NO}_3)_3$  com os mesmos ligantes). As dificuldades ocorreram em vista principalmente da insolubilidade de tais complexos nos solventes orgânicos usuais. Com base nos resultados de análise elementar e dos espectros I.V. foi possível propor a inclusão de uma molécula de  $\text{H}_2\text{O}$  já devia estar associada ao tmao antes da coordenação.

TABELA 2 — Resultados de análises — do metal, do ânion e de análise elementar (C, H, N).

Complexo	% Cr calc.	% Cr exp.	% Ânion calc.	% Ânion exp.	% C calc.	% C exp.	% H calc.	% H exp.
$[\text{CrCl}_3(\text{tpo})_3]$	5,25	5,43	—	—	—	—	5,53	64,3
$[\text{CrCl}_2(\text{ta}_{\text{s}})_4]\text{Cl}$	4,03	4,00	—	—	—	—	59,7	58,6
$[\text{Cr}(\text{tmao})_6]\text{Cl}_3$	—	—	17,5	17,3	14,2	12,8	35,5	28,9
$[\text{CrCl}_2(\text{pyo})_4]\text{Cl}$	—	—	19,8	18,8	11,5	9,2	40,6	39,9
$[\text{CrCl}_3(\text{hmpa})_3]$	9,40	9,20	—	—	16,3	15,0	41,8	39,0
$[\text{CrCl}_3(\text{dfso})_3]$	9,20	8,80	—	—	—	—	56,4	54,1
$[\text{CrBr}_3(\text{pyo})_3]$	9,00	8,52	13,9	14,2	7,28	6,81	31,2	30,0
$[\text{CrBr}_3(\text{hmpa})_3]$	6,20	6,80	28,9	26,6	15,2	13,1	26,1	23,8
$[\text{CrBr}_3(\text{dfso})_3]$	5,79	5,65	—	—	—	—	48,1	46,5
$[\text{Cr}(\text{NO}_3)_2(\text{tpo})_2]\text{NO}_3$	6,54	6,54	—	—	5,20	4,89	54,4	53,2
$[\text{Cr}(\text{NO}_3)_2(\text{ta}_{\text{s}})_4](\text{NO}_3)_2$	3,40	3,10	—	—	3,00	3,21	56,6	56,2
$[\text{Cr}(\text{NO}_3)_3(\text{H}_2\text{O})(\text{tmao})_2]$	—	—	26,9	24,6	8,61	8,56	22,0	18,6
$[\text{Cr}(\text{pyo})_6](\text{NO}_3)_3$	—	—	23,0	23,4	15,6	13,9	38,8	36,7
$[\text{Cr}(\text{ClO}_4)_3(\text{tpo})_3]$	4,39	4,30	—	—	—	—	52,6	43,2
$[\text{Cr}(\text{ClO}_4)_3(\text{pyo})_2]$	9,60	9,35	—	—	5,20	6,51	22,2	25,4
$[\text{Cr}(\text{ClO}_4)_2(\text{dmp})_4]\text{ClO}_4$	5,40	5,22	—	—	10,5	9,84	35,9	36,0

TABELA 3 — Frequência de estiramento  $\nu(\text{E}-\text{O})$  dos complexos ( $\text{E} = \text{P, As, S, N}$ ).

Ligantes e Complexos	$\nu_{\text{E}-\text{O}}$ (cm $^{-1}$ )
(tpo)	1190
$[\text{CrCl}_3(\text{tpo})_3]$	1178
$[\text{Cr}(\text{NO}_3)_2(\text{tpo})_2](\text{NO}_3)$	1160
$[\text{Cr}(\text{ClO}_4)_3(\text{tpo})_3]$	—
hmpa	1208
$[\text{CrCl}_3(\text{hmpa})_3]$	1195
$[\text{CrBr}_3(\text{hmpa})_3]$	—
$[\text{Cr}(\text{NO}_3)_2(\text{dfso})_2]\text{NO}_3$	885
$[\text{Cr}(\text{NO}_3)_2(\text{ta}_{\text{s}})_4](\text{NO}_3)_2$	875
$[\text{Cr}(\text{NO}_3)_3(\text{H}_2\text{O})(\text{tmao})_2]$	855
$[\text{Cr}(\text{pyo})_6](\text{NO}_3)_3$	855
$[\text{Cr}(\text{ClO}_4)_3(\text{tpo})_3]$	1040
$[\text{Cr}(\text{ClO}_4)_2(\text{dmp})_4]\text{ClO}_4$	1029
dfso	1028
tmao	950
$[\text{Cr}(\text{tmao})_6]\text{Cl}_3$	910
$[\text{Cr}(\text{NO}_3)_3(\text{H}_2\text{O})(\text{tmao})_2]$	910
pyo	1225
$[\text{CrCl}_2(\text{pyo})_4]\text{Cl}$	1200
$[\text{Cr}(\text{pyo})_6](\text{NO}_3)_3$	1200
$[\text{Cr}(\text{ClO}_4)_3(\text{pyo})_2]$	1210
$[\text{CrBr}_3(\text{pyo})_3]$	1195

Os pontos de fusão (ou de decomposição) dos complexos são relativamente altos. Dos 16 complexos sólidos apresentados na Tabela 1, dez têm fusão acima de 190°C. Os cloretos apresentaram os P.F. mais elevados e os percloratos os mais baixos. Esse comportamento se deve provavelmente ao fato dos complexos de  $\text{ClO}_4^-$  apresentarem esse ânion coordenado ao Cr(III) nos três complexos obtidos. Somente o complexo com dmp apresenta um  $\text{ClO}_4^-$  fora da esfera de coordenação. No caso dos cloretos, somente o  $[\text{CrCl}_3(\text{tpo})_3]$  é neutro. Em cinco casos a fusão (ou decomposição) deve ocorrer acima de 270°C.

Não foram atribuídas também as freqüências de estiramento  $\nu(\text{N-O})$  para os ligantes livres pyo e tmao, uma vez que as moléculas de  $\text{H}_2\text{O}$  associadas não foram eliminadas. As freqüências  $\nu(\text{N-O})$  da Tabela 3 para esses dois ligantes foram extraídas da literatura<sup>14, 15</sup>.

O espectro I.V. do complexo  $[\text{Cr}(\text{ClO}_4)_2(\text{dmp})_4]\text{ClO}_4$  apresentou evidências de coordenação do dmp pelo N piridínico; as bandas relativas ao estiramento C-O em  $1635\text{cm}^{-1}$  e associadas ao N da amida em  $1050\text{cm}^{-1}$  praticamente não se alteram no complexo, o que indica que a coordenação não se dá pelo O do C-O ou pelo N da amida<sup>16</sup>.

As freqüências relativas aos grupos  $\text{NO}_3^-$  e  $\text{ClO}_4^-$  coordenados ou aniónicos estão na Tabela 4. Para o complexo  $[\text{Cr}(\text{NO}_3)_2(\text{tfpo})_2]\text{NO}_3$  a banda em  $1380\text{cm}^{-1}$  é indicativa da presença de  $\text{NO}_3^-$  iônico e a banda em  $1510\text{cm}^{-1}$  confirma a presença de  $\text{NO}_3^-$  bidentado. No caso do complexo  $[\text{Cr}(\text{NO}_3)(\text{tfao})_4](\text{NO}_3)_2$  a banda de  $\text{NO}_3^-$  iônico ocorre em  $1385\text{cm}^{-1}$ , mas as freqüências relativas ao  $\text{NO}_3^-$

$[\text{Cr}(\text{NO}_3)_2(\text{tfpo})_2](\text{NO}_3)$	1510, 1380 990, 795, 790
$[\text{Cr}(\text{NO}_3)(\text{tfao})_4](\text{NO}_3)_2$	1500 1385, 1360 1280, 1015, 930 (ombro)
$[\text{Cr}(\text{NO}_3)_3(\text{H}_2\text{O})(\text{tmao})_2]$	1380 1090-1070 838-822
$[\text{Cr}(\text{pyo})_6(\text{NO}_3)_3]$	1350-1380 (larga) 720
$[\text{Cr}(\text{ClO}_4)_3(\text{tfpo})_3]$	1170-1080, 930 (fraca) 640
$[\text{Cr}(\text{ClO}_4)_3(\text{pyo})_2]$	1185, 1145, 1120 1030, 640
$[\text{Cr}(\text{ClO}_4)_2(\text{dmp})_4](\text{ClO}_4)$	1115, 1030 940, 628

TABELA 4 — Freqüência no I.V. dos ânions  $\text{NO}_3^-$  e  $\text{ClO}_4^-$ .

bidentado não foram bem definidas. Para o complexo  $[\text{Cr}(\text{NO}_3)_3(\text{H}_2\text{O})(\text{tmao})_2]$ , além das bandas de  $\text{H}_2\text{O}$  coordenada ( $3500$  e  $1600\text{cm}^{-1}$ ), ocorrem bandas típicas de  $\text{NO}_3^-$  coordenado, associadas a outras bandas.

Os espectros eletrônicos obtidos na região  $400$ - $800\text{nm}$  são típicos de complexos de Cr(III) com simetria octaédrica; as bandas  $\nu_1$  e  $\nu_2$  correspondem às transições  $^4\text{A}_{2g} \rightarrow ^4\text{T}_{2g}$  e  $^4\text{A}_{2g} \rightarrow ^4\text{T}_{1g}$  (F), respectivamente<sup>17</sup>. Os complexos verdes, em geral, absorvem em regiões mais energéticas quando comparados com os complexos purpúreos. Nos complexos purpúreos, a absorção  $\nu_1$  ocorre em  $13000$ - $14000\text{cm}^{-1}$  e  $\nu_2$  em  $19000$ - $21000\text{cm}^{-1}$  enquanto nos complexos verdes as bandas correspondentes estão em  $15000$ - $16000\text{cm}^{-1}$  e  $22000$ - $23000\text{cm}^{-1}$ . Na Fig. 1 estão os espectros dos complexos do tipo  $[\text{CrX}_3\text{L}_3]$  verdes e purpúreos em solução ou em suspensão de niujol.

Os valores dos parâmetros  $10\text{ Dq}$  e  $B'$  foram determinados a partir das equações<sup>5</sup>:  $\nu_1 = 10\text{ Dq}$ ;  $\nu_2 = 7,5\text{ B}' + 15\text{ Dq} - 1/2(225\text{ B}'^2 + 100\text{ D}^2\text{q} + 180\text{ B}'\text{ Dq})^{1/2}$ . A eq.  $\nu_3 = 7,5\text{ B}' + 15\text{ Dq} + 1/2(225\text{ B}'^2 + 100\text{ D}^2\text{q} - 180\text{ B}'\text{ Dq})^{1/2}$  não foi utilizada uma vez que  $\nu_3$  não foi observada.

O parâmetro  $10\text{ Dq}$  foi determinado diretamente nos espectros e corresponde à freqüência de absorção máxima  $\nu_1$ . O parâmetro  $B'$  foi calculado a partir do valor de  $\nu_2$  expresso na eq. acima e do valor de  $10\text{ Dq}$  determinado.

Na Tabela 5 estão representados: as freqüências correspondentes ao máximo de absorção das bandas  $\nu_1$  e  $\nu_2$ , as absorbâncias (A), as absorbividades molares (ε) de soluções  $10^{-3}\text{M}$  e os valores de  $10\text{ Dq}$ .

Na Tabela 6 estão representados  $\nu_1$  e  $\nu_2$  e  $10\text{ Dq}$  para sete complexos no estado sólido. Na Tabela 7 estão representados os parâmetros  $B'$  e a razão nefelauxética  $\beta$ .

A comparação dos valores de  $10\text{ Dq}$  e de  $B'$  para os complexos de Cr(III) com diferentes estequiométrias permitiu o estabelecimento das séries espectroquímica e nefelauxética abaixo:

Série espectroquímica para os ligantes orgânicos: pyo > tmao > hmpa > dfso > tfpo > tfao

Para os ligantes inorgânicos:  $\text{NO}_3^- \sim \text{ClO}_4^- > \text{Cl}^- > \text{Br}^-$

Série nefelauxética:  $\text{ClO}_4^- > \text{Cl}^- > \text{Br}^- > \text{NCS}^- > \text{tfpo} > \text{hmpa} > \text{tfa}_0 > \text{pyo} \sim \text{dfso}$ .

O tmao não foi incluído nessa série porque  $\nu_2$  não foi observada no espectro eletrônico na região do visível. O NCS<sup>-</sup> foi incluído por comparação dos valores de  $\beta$  com os de complexos de Cr(III) com hmpa da literatura<sup>18</sup>.

Complexo	Solvente	$\nu_1$	$\nu_2$	$\nu_3$	$A_1$	$\epsilon_1$	$\epsilon_2$	$\epsilon_3$	$10 D_4$
$[\text{Cr}(\text{ClO}_4)_3(\text{pyo})_3]$	acetonitrila	16.390	0,065	65,0	22.990	0,077	77,0	16.390	
$[\text{Cr}(\text{NO}_3)_2(\text{tfpo})_3](\text{NO}_3)^2$	1,2-dicloroetano	16.260	0,046	46,2	23.260	0,096	95,9	16.260	
$[\text{Cr}(\text{ClO}_4)_3(\text{tfpo})_3](\text{NO}_3)^2$	nitrometano	16.130	0,041	40,8	22.990	0,079	79,0	16.130	
$[\text{Cr}(\text{ClO}_4)_3(\text{tfpo})_3]$	acetonitrila	13.790	0,050	50,0	19.280	0,054	54,0	13.790	
$[\text{Cr}(\text{ClO}_4)_3(\text{tfpo})_3]$	1,2-dicloroetano	16.260	0,029	28,5	22.880	0,031	31,0	16.260	
$[\text{Cr}(\text{ClO}_4)_3(\text{tfpo})_3]$	acetonitrila	16.670	0,029	29,2	23.474	0,035	35,0	16.670	
$[\text{Cr}(\text{ClO}_4)_3(\text{tfpo})_3]$	nitrometano	13.790	0,037	36,8	19.800	0,048	48,0	13.790	
$[\text{Cr}(\text{ClO}_4)_3(\text{tfpo})_3]$	1,2-dicloroetano	13.790	0,029	29,0	19.800	0,066	66,4	13.790	
$[\text{Cr}(\text{ClO}_4)_3(\text{tfpo})_3]$	nitrometano	16.130	0,041	40,8	22.990	0,079	79,0	16.130	
$[\text{Cr}(\text{ClO}_4)_3(\text{tfpo})_3]$	acetonitrila	13.790	0,050	50,0	19.280	0,054	54,0	13.790	
$[\text{Cr}(\text{ClO}_4)_3(\text{tfpo})_3]$	1,2-dicloroetano	13.790	0,029	28,5	22.880	0,031	31,0	16.260	
$[\text{Cr}(\text{ClO}_4)_3(\text{tfpo})_3]$	acetonitrila	13.420	0,031	30,8	20.830	0,036	35,7	13.420	
$[\text{Cr}(\text{Cl}_2\text{pyo})_4]\text{Cl}$	nitrometano	13.510	0,023	23,2	20.410	0,022	22,0	13.510	
$[\text{Cr}(\text{Cl}_2\text{pyo})_4]\text{Cl}$	1,2-dicloroetano	13.510	0,023	28,8	21.050	0,033	32,8	13.510	
$[\text{Cr}(\text{Cl}_2\text{pyo})_4]\text{Cl}$	acetonitrila	14.600	0,066	66,4	21.280	0,086	85,5	14.600	
$[\text{Cr}(\text{Cl}_2\text{pyo})_4]\text{Cl}$	nitrometano	15.150	0,027	26,5	21.645	0,079	79,2	15.150	
$[\text{Cr}(\text{Cl}_2\text{pyo})_4]\text{Cl}$	1,2-dicloroetano	15.150	0,026	26,0	21.280	0,117	117	15.150	
$[\text{Cr}(\text{ClO}_4)_2(\text{dmso})_2](\text{ClO}_4)$	acetonitrila	18.975	0,086	86,0	19.050	0,094	94,0		
$[\text{Cr}(\text{ClO}_4)_2(\text{dmso})_2](\text{ClO}_4)$	nitrometano	15.150	0,026	26,0	21.280	0,117	117	15.150	

TABELA 5 — Máximos de absorção ( $\nu$ ), absorbâncias ( $A$ ) e absorvidades molaras ( $\epsilon$ ) de soluções  $10^{-3}\text{M}$  dos complexos e  $10^{-4}\text{M}$ .

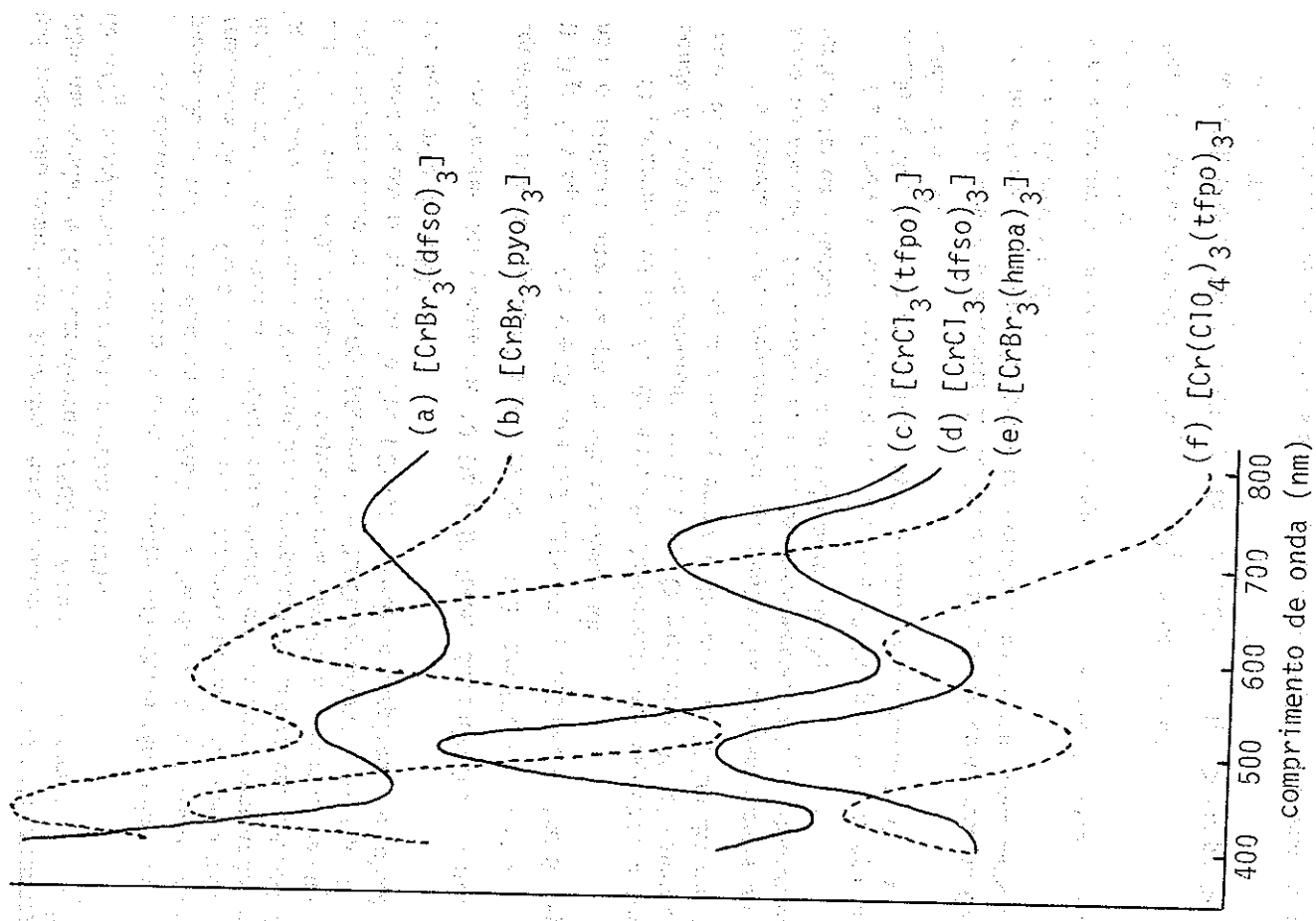


FIG. 1 — Espectros eletrônicos dos complexos de tipo  $[\text{CrX}_3\text{L}_3]$ .

TABELA 6 — Máximos de absorção ( $\nu$ ) e 10 Dq dos complexos de Cr (III) no estado sólido.

Complexo	$\nu_1$ (cm $^{-1}$ )	$\nu_2$ (cm $^{-1}$ )	10 Dq(cm $^{-1}$ )
[CrBr <sub>3</sub> (hmpa) <sub>3</sub> ]	16.390	22.990	16.390
[CrBr <sub>3</sub> (pyo) <sub>3</sub> ]	17.540	23.260	17.540
[CrCl <sub>3</sub> (tppo) <sub>3</sub> ]	13.420	19.400	13.420
[CrCl <sub>3</sub> (dfso) <sub>3</sub> ]	15.990	20.000	13.990
[Cr(NO <sub>3</sub> ) <sub>3</sub> (H <sub>2</sub> O)(tmao) <sub>2</sub> ]	17.390	(*)	17.390
[Cr(tmao) <sub>6</sub> ]Cl <sub>3</sub>	17.540	(*)	17.540
[Cr(pyro) <sub>6</sub> ](NO <sub>3</sub> ) <sub>3</sub>	17.860	22.990	17.860

(\*) O máximo de absorção não foi observado por estar deslocado para a região do U.V.  
TABELA 7 — Parâmetro de Racah (B') e razão nefelauxética ( $\beta$ ) calculados; B = 918cm $^{-1}$  para o ión livre.

Complexo	B'(cm $^{-1}$ )	$\frac{B'}{B}$
[Cr(ClO <sub>4</sub> ) <sub>3</sub> (pyo) <sub>2</sub> ] <sup>a</sup>	661 <sup>a</sup>	0,72
[Cr(NO <sub>3</sub> ) <sub>2</sub> (tppo) <sub>2</sub> ](NO <sub>3</sub> ) <sup>a</sup>	718 <sup>d</sup> , 701 <sup>n</sup>	0,78; 0,76
[CrCl <sub>3</sub> (tppo) <sub>3</sub> ] <sup>a</sup>	626 <sup>d</sup> , 620 <sup>n</sup> , 605 <sup>s</sup>	0,68; 0,675; 0,66
[Cr(ClO <sub>4</sub> ) <sub>3</sub> (dfso) <sub>3</sub> ] <sup>a</sup>	685 <sup>a</sup> , 666 <sup>d</sup>	0,75; 0,725
[CrBr <sub>3</sub> (hmpa) <sub>3</sub> ] <sup>a</sup>	541 <sup>d</sup>	0,59
[CrBr <sub>3</sub> (pyo) <sub>3</sub> ] <sup>a</sup>	661 <sup>s</sup>	0,72
[CrCl <sub>3</sub> (dfso) <sub>3</sub> ] <sup>a</sup>	514 <sup>s</sup>	0,59
[CrCl <sub>2</sub> (dfso) <sub>4</sub> ]Cl <sup>a</sup>	618 <sup>s</sup>	0,67
[CrCl <sub>2</sub> (pyo) <sub>4</sub> ]Cl <sup>a</sup>	878 <sup>a</sup> , 777 <sup>d</sup>	0,96; 0,85
[Cr(NO <sub>3</sub> ) <sub>2</sub> (ta <sub>3</sub> o) <sub>4</sub> ](NO <sub>3</sub> ) <sup>a</sup>	705 <sup>n</sup>	0,77
[Cr(pyo) <sub>6</sub> ](NO <sub>3</sub> ) <sub>3</sub> <sup>a</sup>	666 <sup>d</sup> , 615 <sup>n</sup>	0,725; 0,67
	476 <sup>s</sup>	0,52

<sup>a</sup> Solventes: a = acetonitrila  
<sup>n</sup> = nitrometano

d = 1,2-dicloroetano

AGRADECIMENTOS: Os autores agradecem à CAPES pela bolsa de Mestrado concedida a Vânia Martins Nogueira durante a execução do trabalho.

NOGUEIRA, V.M. & MASSABNI, A.C. — Chromium (III) Complexes with oxygenated monodentate ligands. *Ecl. Quím.*, São Paulo, 11/12:59-71, 1986/87.

ABSTRACT: In the present article we describe the synthesis and characterization of the solid complexes of formulas: [Cr(tmao)<sub>6</sub>]Cl<sub>3</sub>, [CrCl<sub>3</sub>(dpsø)<sub>3</sub>], [CrBr<sub>3</sub>(pyo)<sub>4</sub>]<sup>a</sup>, [CrCl<sub>3</sub>(tppo)<sub>2</sub>](NO<sub>3</sub>)<sup>a</sup>, [Cr(NO<sub>3</sub>)<sub>2</sub>(tppo)<sub>2</sub>](NO<sub>3</sub>)<sup>a</sup>, [Cr(NO<sub>3</sub>)<sub>2</sub>(hmpa)<sub>3</sub>], [CrBr<sub>3</sub>(dfso)<sub>3</sub>], [Cr(NO<sub>3</sub>)<sub>3</sub>(H<sub>2</sub>O)(tmao)<sub>2</sub>], [Cr(pyro)<sub>6</sub>](NO<sub>3</sub>)<sub>3</sub> and [Cr(tClO<sub>4</sub>)<sub>3</sub>(H<sub>2</sub>O)](NO<sub>3</sub>)<sub>3</sub>. [Cr(tmao)<sub>6</sub>]Cl<sub>3</sub> (tmao = trimethylamine oxide; pyo = pyridine oxide, dpsø = diphenylphosphide; hmpa = hexamethylphosphoramide; tppo = triphenylphosphine oxide; ta<sub>3</sub>o = triphenylarsine oxide; dmp = N, N-dimethylpicolinamide). The complexes were characterized by elemental analysis (C, H, N), Cr (III) and anion analysis, melting points, conductance, magnetic susceptibility measurements, IR and electronic spectra. Based on the 10 Dq and B' values the following spectrochemical and nephelauxetic series were established: Spectrochemical series (ligands): pyo > tmao > hmpa > dppø > tppo > ta<sub>3</sub>o; Spectrochemical series (anions): NO<sub>3</sub><sup>-</sup> ~ ClO<sub>4</sub><sup>-</sup> > Cl<sup>-</sup> > Br<sup>-</sup>; Nephelauxetic series: ClO<sub>4</sub><sup>-</sup> > Cl<sup>-</sup> > Br<sup>-</sup> > NCS<sup>-</sup> > tppo > hmpa > pyo > dppø.

KEY WORDS: chromium (III), complexes, monodentate oxygenated ligands.

#### REFERÉNCIAS BIBLIOGRÁFICAS

1. DONOGHUE, J.T. & DRAGO, R.S. — *Inorg. Chem.*, 2, 1158 (1963).
2. DRAGO, R.S.; DONOGHUE, J.T. & HERLOCKER, D.W. — *Inorg. Chem.*, 4, 836 (1969).
3. HAUPP, G. — *J. Res. Natl. Bur. Std.*, 6, 414 (1952).
4. VOGEL, A.I. — *Química Analítica Quantitativa*, Ed. Kapeluz, Buenos Aires, 1960.
5. HUEHEY, J.E. — *Inorganic Chemistry: Principles of Structure and Reactivity*, Harper Int. Ed., 2nd ed., 1978.
6. FRAZER, M.J.; GERRARD, W. & TWAITS, T. — *J. Inorg. Nucl. Chem.*, 25, 637 (1963).
7. PHILLIPS, D.J. & TYREE JR., S.Y. — *J. Am. Chem. Soc.*, 83, 1806 (1961).
8. WADE, S.R. & WILLEY, G.R. — *J. Inorg. Nucl. Chem.*, 42, 1135 (1980).
9. KARAYANNIS, N.M.; MIKULSKI, C.M.; STROCKO, M.J.; PYTLEWSKI, L. & LABES, M.M. — *J. Inorg. Nucl. Chem.*, 32, 2629 (1970).
10. CARLIN, R.L. — *J. Am. Chem. Soc.*, 83, 5773 (1961).
11. MEEK, D.K.; DRAGO, R.S. & PIPER, T.S. — *Inorg. Chem.*, 2, 285 (1962).
12. GEARY, W.J. — *Coord. Chem. Rev.*, 7, 81 (1971).
13. FIGGIS, B.N. & LEWIS, J. — *Progr. Inorg. Chem.*, 6, 37 (1964).
14. WHYMAN, R.; HATFIELD, W.E. & PASCHAL, J.S. — *Inorg. Chim. Acta*, 1, 113 (1967).

15. QUAGLIANO, J.V.; FUJITA, J.; FRANZ, G.; PHILLIPS, D.J.; WALMSLEY, J.A. & TYREE, S.Y. — *J. Am. Chem. Soc.*, 83, 3770 (1961).
16. UNGER DE OLIVEIRA, G. — *Tese de Doutoramento, Instituto de Química — USP, São Paulo, 1979.*
17. FURLANI, C. — *Coord. Chem. Rev.*, 1, 51 (1966).
18. DE BOLSTER, M.W.G. — *Ph. D. Thesis, University of Leiden, Holanda (1972).*

Recebido para publicação em 15.08.87.